

## تحلیل عددی بالستیک داخلی تفنگ با در نظر گرفتن نرخ سوزش غیرخطی

محسن روح بخش<sup>۱</sup>، احمد رضا خوگر<sup>۲\*</sup>، سیدهادی معتمد الشريعی<sup>۳</sup>

تهران - دانشگاه صنعتی مالک اشتر

(تاریخ وصول: ۹۱/۰۶/۰۶، تاریخ پذیرش: ۹۱/۰۸/۲۴)

### چکیده

در کار حاضر بر اساس الگوریتم حل عددی با بر و فرانکل یک کد کامپیوتری جهت پیش‌بینی پارامترهای بالستیک داخلی (فسار و دمای گازهای پیش‌رانه، موقعیت و سرعت گلوله در زمان‌های مختلف) تهیه شده است. تغییرات نرخ سوزش به کار رفته با فشار به صورت غیرخطی است. عبارت حجم در معادله حالت با در نظر گرفتن حجم مشترک گازهای آغازگر، هم‌پوشانی اولیه گلوله با محفظه احتراق و عقب‌نشینی سلاح ویرایش شده است. در معادله انرژی انتلاف حرارتی، انتلاف ناشی از غلبه بر نیروی خانکشی و انتلاف مربوط به عقب‌نشینی سلاح و چرخش گلوله منظور شده است. نتایج کد تهیه شده بر مبنای روش حاضر با نتایج آزمایشگاهی و همچنین نتایج منتشر شده از دیگر کدهای معتبر در تحلیل بالستیک داخلی، تطابق خوبی را نشان می‌دهد. پس از اعتبارسنجی، مطالعه پارامتریک برای حجم مشترک گازها و نیروی مقاومت خانکشی به منظور میزان اثرگذاری بر دقت در محاسبه فشار گازهای احتراق و سرعت گلوله انجام شد. اثر فشار شروع حرکت گلوله بر بیشینه فشار گازهای احتراق نیز بررسی شده است. این تحقیق نشان داد با افزایش فشار شروع حرکت گلوله، بیشینه فشار در محفظه احتراق به صورت سهمی افزایش خواهد داشت. در ادامه مطالعه پارامتریک اثر خصوصیات آغازگر بر تغییرات دما و فشار گازهای احتراق با زمان بررسی شده است.

واژه‌های کلیدی: بالستیک داخلی تفنگ، نرخ سوزش غیرخطی، توسعه تحلیل صفر بعدی، حجم مشترک گاز، انتلاف حرارتی.

### ۱- مقدمه

تحلیل بالستیک داخلی سلاح با توجه به سریع بودن فرآیند و مشکلات اندازه‌گیری در قسمت داخلی لوله از اهمیت بالایی برخوردار است.

حقیقین علم بالستیک داخلی تلاش می‌کنند پارامترهای طراحی سلاح و مهمات را به گونه‌ای بیابند که سرعت دهانه مورد نیاز تأمین شود، دهانه لوله سالم و بدون عیب بماند و در اثر فشار زیاد، سلاح آسیب نمی‌بیند. برای این منظور آنها باید قادر به پیش‌بینی فشار پشت گلوله در

\* E-mail: khoogar@yahoo.com

۱- کارشناسی ارشد

۲- استادیار

۳- مرتبی

اثر فشار بین گرین ای پیش‌بینی کند [۲]. نتایج این کد در تحلیل تفنگ AGARD<sup>۸</sup> و تفنگ ۴۰ م.م. در اعتبارسنجی روش حاضر حاضر استفاده شده است. رحیمیان و طالعی در سال ۲۰۰۳ با حل معادلات حاکم در بالستیک داخلی به روش حجم محدود موفق به استخراج منحنی‌های عملکردی شدند، آنها نتایج خود را با تست‌های انجام شده خود مقایسه نمودند که بسیار راضی کننده بود [۴]. معینی در سال ۲۰۰۴ جریان دو فازی محترق در تفنگ را بر پایه الگوریتم ضمنی مک‌کورمک<sup>۹</sup> تحلیل کرد [۵].

سوختن در سطح پیش‌رانه جامد، روی می‌دهد و الزاماً عمود بر سطح پیش‌روی می‌کند. میزان پسروی نسبت به زمان را نرخ سوزش می‌نامند. از آنجا که روش‌های تحلیلی مانند روش رسال و روش کرنر تنها قادر به تحلیل پیش‌رانه‌ای هستند که نرخ سوزش آن با فشار گاز رابطه خطی داشته باشد، عملأً پیش‌بینی عملکرد گستره وسیعی از پیش‌رانه‌ها را ندارند، لذا روشی که قادر به تحلیل نرخ سوزش غیرخطی باشد بسیار کارآمد خواهد بود. در سال ۱۹۶۲ بایر و فرانکل<sup>۱۰</sup> معادله انرژی را با درنظر گرفتن اتفاق‌ها برای تحلیل پیش‌رانه‌های استوانه‌ای چند سوراخه استفاده کردند. در الگوریتم حل صریح<sup>۱۱</sup> عددی آنها با افزایش گام‌های زمانی، متغیرهای بالستیکی در هر مرحله محاسبه می‌شوند، به این ترتیب نیاز به حل همزمان معادلات دیفرانسیل غیرخطی نیست، در صورتی که کار مفید را کار انجام شده برای حرکت انتقالی گلوله بدانیم سهم عمده اتفاق‌ها شامل موارد زیر می‌شود [۶]:

- انرژی از دست رفته در فرآیند خانکشی و غلبه بر اصطکاک داخل لوله و نیز نیروی مقاومت هوای فشرده در جلوی دماغه گلوله

- انرژی جنبشی گازهای پیش‌رانه و پیش‌رانه‌های نسخته اتفاق حرارتی از سیستم بالستیک داخلی به محیط
- انرژی جنبشی بخش‌های عقب‌نشینی‌کننده سلاح
- انرژی کرنشی لوله سلاح
- انرژی چرخشی گلوله

در کار حاضر براساس الگوریتم حل عددی بایر و فرانکل، با درنظر گرفتن تمامی موارد بالا بهز انرژی کرنشی لوله سلاح که مقداری کمتر از یک درصد کل انرژی آزاد شده حاصل از سوختن پیش‌رانه را به خود اختصاص می‌دهد [۶]، تحلیل دقیقی از فرآیند بالستیک داخلی ارائه می‌شود. در روش حاضر با فرض یکنواخت بودن چگالی گازهای پیش‌رانه در فضای پشت گلوله، از ترکیب دو معادله بقای جرم و اندازه حرکت توسعه سرعت و فشار محلی گازهای پیش‌رانه حاصل می‌شود. از

طی حرکت گلوله درون لوله تا رسیدن به دهانه لوله باشند. همچنین می‌باشد منحنی تغییرات سرعت و شتاب را طی حرکت گلوله داخل لوله پیش‌بینی کنند [۱]. مدل سازی ریاضی فرآیند بالستیک داخلی و به دست آوردن روابط تحلیلی می‌تواند تصویر روشنی از برهم‌کنش پارامترهای مؤثر در این ارتباط را فراهم آورد. معادلات عمومی در بالستیک داخلی عبارتند از: معادله حالت گازهای پیش‌رانه، معادلات سه‌گانه بقای جرم، اندازه حرکت و انرژی، معادله تابع شکلی گرین پیش‌رانه در حال سوزش و معادله نرخ سوزش. معادله انرژی در تفنگ، توسط رسال<sup>۱</sup> در سال ۱۸۶۴ ارائه شد، درنتیجه این کار پایه‌های علم بالستیک داخلی بر اصول ترمودینامیک بنا نهاده شد. تحلیل‌های بالستیک داخلی کرنر<sup>۲</sup> و هانت<sup>۳</sup> در سال‌های ۱۹۵۰ و ۱۹۵۱ قبل از ظهور رایانه‌های امروزی، لزوماً با تقریب‌ها و فرضیات ساده‌کننده همراه بوده است. از جمله این فرضیات می‌توان نرخ سوزش خطی، افزایش جرم گلوله به‌منظور لحاظ نمودن اثرات مقاومتی در برابر حرکت گلوله، صرف‌نظر از حجم مشترک گازهای پیش‌رانه و صرف‌نظر از آغازگر<sup>۴</sup> را نام برد. در روابط تحلیلی ارائه شده توسط کرنر فرآیند بالستیک داخلی قبل از سوختن کامل پیش‌رانه به‌صورت هم‌دمای فرض شده و بعد از اتمام سوخت، فرآیند به‌صورت آدیباتیک برگشت‌پذیر در نظر گرفته شده است [۱]. مدل سازی جریان مواد پیش‌رانه در لوله سلاح به‌صورت تک فازی گاز یا دو فازی جامد و گاز انجام شده است. تحلیل‌های صفر بعدی توزیع چگالی گازها و مواد پیش‌رانه را در فضای پشت گلوله یکنواخت فرض می‌کند. در تحلیل‌های یک بعدی توزیع چگالی گازها در طول لوله سلاح غیریکنواخت است و در تحلیل‌های دو بعدی توزیع چگالی گازها و مواد پیش‌رانه در طول لوله و نیز در راستای شعاعی غیریکنواخت در نظر گرفته می‌شود. مدل سازی یک بعدی دو فازی اولین بار در سال ۱۹۷۹ توسط گاک ارائه شد [۲]. تئوری مدل جریان دو فازی شامل معادلات بقای جرم، اندازه حرکت و انرژی در دو فاز و همچنین قوانین پیوستگی مورد نیاز می‌باشد [۳]. در سال ۱۹۸۱ مدلی موسوم به موبیدیک<sup>۵</sup> در فرانسه ارائه شده است که علاوه بر درنظر گرفتن مدل یک بعدی جریان دو فازی گاک<sup>۶</sup>، پخش شعله و شکل‌گیری امواج فشاری را شبیه‌سازی نموده است. در سال ۱۹۹۸ نسخه ارتقا یافته از همین کد موسوم به موبیدیک.ان.جی ارائه شد که در کمپانی‌های تسلیحاتی و مراکز پژوهشی استفاده می‌شود. در مدل ارتقا یافته به جای فرمولاسیون غیرقابل تراکم گاک از فرمولاسیون قابل تراکم چند فازی بایر-نانزیاتو<sup>۷</sup> استفاده شده است. فرآیند آغازگری به کار رفته در مدل مذکور با رسیدن دمای سطح گرین پیش‌رانه به حد اشتعال توصیف شده است و قادر است شکست گرین‌های پیش‌رانه را بر

1- Resal

2- Corner

3- Hunt

4- Igniter

5- Mobidic

6- Gough

7- Nunziato

8 - Advisory Group for Aerospace Research and Development

9- MacCormack

10- Baer&amp;Frankle

11- Explicit

$$T = \frac{\left[ \sum_{i=1}^n \frac{F_i C_i z_i}{\gamma_i - 1} \right] + \frac{F_i C_i}{\gamma_i - 1} - A \int_0^x P_B dx - Losses}{\left[ \sum_{i=1}^n \frac{F_i C_i z_i}{(\gamma_i - 1) T_{o_i}} \right] + \frac{F_i C_i}{(\gamma_i - 1) T_{o_i}}} \quad (6)$$

که در آن،  $F$  ایمپتوس<sup>۱</sup> یا ثابت نیرو نامیده می‌شود و از رابطه زیر بهدست می‌آید:

$$F_i = R_i T_{o_i} \quad (7)$$

در رابطه بالا،  $R$  ثابت گازهای حاصل از سوختن پیشرانه‌ها است و  $T_{o_i}$  دمای شعله آدیاباتیک مربوط به پیشرانه است. طبق قضیه کار و انرژی جنبشی می‌توان مقدار کار انجام شده روی گلوله را بهدست آورد. تلفات مربوطه در این قسمت در عبارت  $Losses$  معادله انرژی منظور می‌شود. لذا می‌توان نوشت [۶]:

$$A \int_0^x P_B dx = \frac{1}{2} w_p v^2 \quad (8)$$

بر اساس گردیان فشار لاغرانژ انرژی جنبشی گازهای پیشرانه و پیشرانه‌های نسوخته عبارت است از:

$$E_{prop} = \frac{1}{6} \left( \sum_{i=1}^n C_i \right) v^2 \quad (9)$$

بر اساس گردیان پیدوک-کنت انرژی جنبشی گازهای پیشرانه و پیشرانه‌های نسوخته خواهد شد:

$$E_{prop} = \frac{1}{2\delta} \left( \sum_{i=1}^n C_i \right) v^2 \quad (10)$$

که در آن،  $\delta$  ثابت پیدوک-کنت نامیده می‌شود و با توجه به نسبت گرمایی ویژه پیشرانه و نسبت جرمی گلوله به پیشرانه تعیین می‌شود [۸]. نیروی خانکشی یا مقاومت لوله و نیروی مقاومت هوای فشرده در جلوی دماغه گلوله را می‌توان با معادل سازی حاصل ضرب فشار در سطح مقطع گلوله تعریف کرد. انرژی از دست رفته ناشی از نیروهای مقاوم در برابر حرکت با انتگرال زیر محاسبه می‌شود:

$$E_r = A \int_0^x (P_r + P_g) dx \quad (11)$$

که در آن،  $P_r$  مربوط به نیروی خانکشی یا مقاومت لوله است و  $P_g$  مربوط به مقاومت هوای فشرده است. نیروی خانکشی یا مقاومت لوله از نقطه نظر تطبیق فشار گازها و سرعت دهانه تحلیل‌های تئوری با نتایج آزمایشگاهی حائز اهمیت است. نیروی مقاومت لوله در ابتدای حرکت گلوله در اثر فرآیند خانکشی روی کمرنده گلوله مقدار بالایی دارد و پس از آن در ادامه طی مسیر، کاهش پیدا می‌کند [۹]. نیروی مقاومت بر حسب مکان گلوله در لوله به صورت جدول داده، ارائه می‌شود

روش‌های مؤثر در پیشرانش به کارگیری خرج ترکیبی است. خرج ترکیبی عبارت است از مخلوطی از پیشرانه‌ها با گرین‌های هندسی مختلف و ضرایب نرخ سوزش متفاوت یا یکسان که باعث می‌شود مقادیر بالای منحنی فشار در بازه زمانی بیشتری حفظ شود. به این ترتیب بدون بالا رفتن حداکثر فشار، سرعت دهانه بیشتری حاصل خواهد شد [۷]. نرم‌افزار تدوین شده در این تحقیق قادر است خرج ترکیبی را تحلیل کند.

## ۲- معادلات حاکم

### ۲-۱- محاسبه دمای میانگین

معادله انرژی برای سیستم بالستیک داخلی به صورت زیر نوشته می‌شود:

$$Q = U + W + Losses \quad (1)$$

که در آن،  $Q$  مجموع انرژی‌های آزاد شده حاصل از سوختن پیشرانه‌ها است،  $U$  انرژی داخلی گازهای پیشرانه،  $W$  کار انجام شده روی گلوله و  $Losses$  بیانگر اتلاف‌ها است. انرژی آزاد شده از سوختن تک‌تک پیشرانه‌ها عبارت است از:

$$Q = \sum_{i=1}^n \left[ C_i z_i \int_0^{T_{o_i}} c_{v_i} dT \right] \quad (2)$$

به دلیل ابساط و کار خارجی انجام شده در سلاح، دمای گاز از دمای شعله آدیاباتیک کمتر خواهد شد. درنتیجه انرژی داخلی گاز عبارت است از:

$$U = \sum_{i=1}^n \left[ C_i z_i \int_0^T c_{v_i} dT \right] \quad (3)$$

کار انجام شده روی گلوله از رابطه زیر بهدست می‌آید:

$$W = A \int_0^x P_B dx \quad (4)$$

با جایگذاری مقادیر  $Q$ ،  $U$  و  $W$  در معادله انرژی، می‌توان دما را به صورت زیر بهدست آورد:

$$T = \frac{\sum_{i=1}^n C_i z_i \bar{c}_{v_i} T_{o_i} + C_i \bar{c}_{v_i} T_{o_i} - A \int_0^x P_B dx - Losses}{\sum_{i=1}^n C_i z_i \bar{c}_{v_i} + C_i \bar{c}_{v_i}} \quad (5)$$

در رابطه (۵) فرض شده در زمان صفر  $t = 0$  آغازگر به طور کامل سوخته شده باشد [۶].

با استفاده از روابط شناخته شده بین ثوابت ترمودینامیکی می‌توان نوشت:

است. باید توجه داشت با پیشروی گلوله در لوله سطح بیشتری از لوله در معرض انتقال حرارت قرار می‌گیرد.  $A_w$  از رابطه زیر به دست می‌آید [۸]:

$$A_w = \left[ \frac{V_o}{A} \right] \pi D + 2A + \pi D [x_B + x_{rec}] \quad (17)$$

برای برآورد  $T_w$  دمای پوسته داخلی با توجه به توضیحات داده شده می‌توان نوشت:

$$E_h = c_{p_w} m_w [T_w - T_0] \quad (18)$$

در رابطه فوق،  $T_0$  دمای اولیه پوسته داخلی است که برابر دمای محیط فرض می‌شود. اگر ضخامت پوسته داخلی برابر  $\epsilon$  باشد آنگاه:

$$T_w = \frac{E_h}{c_{p_w} \rho_w A_w \epsilon} + T_0 \quad (19)$$

درنهایت با جایگذاری مقادیر اتفاقها در معادله (۶) و استفاده از گرادیان پیدوک-کنت، دمای میانگین گازهای پیشرانه از رابطه زیر به دست می‌آید:

(۲۰)

$$T = \frac{\left[ \sum_{i=1}^n \frac{F_i C_i z_i}{\gamma_i - 1} \right] + \frac{F_i C_i}{\gamma_i - 1} - \frac{v^2}{2} \left( w_p + \frac{1}{\delta} \sum_{i=1}^n C_i \right) - A \int_0^v (P_r + P_g) dx - \frac{1}{2} m_{rec} v_{rec}^2 - \frac{1}{2} I_p (kv)^2 - E_h}{\left[ \sum_{i=1}^n \frac{F_i C_i z_i}{(\gamma_i - 1) T_{o_i}} \right] + \frac{F_i C_i}{(\gamma_i - 1) T_{o_i}}} \quad (20)$$

اگر از گرادیان لاگرانژ استفاده شود  $\delta = 3$  است. در معادله بالا اندیس  $I$  برای آغازگر و اندیس  $i$  برای  $i$ -امین خرج پیشرانه از استفاده شده است. با توجه به اینکه در هر گام زمانی برای محاسبه دمای متوسط گازهای احتراق از موقعیت و سرعت گلوله در گام قبل استفاده شده است، حل عددی انجام شده به صورت صریح است. با درنظر گرفتن گام زمانی  $\Delta t < 10^{-4}$  نتایج رضایت بخشی حاصل می‌شود.

## ۲-۲- محاسبه فشار میانگین و گرادیان فشار

فشار میانگین گازهای پشت گلوله با توجه به معادله حالت گاز کامل تعیین می‌شود:

$$P_i v_i = R_i T \quad (21)$$

حجم در دسترس گازهای پیشرانه که در شکل (۱) نمایش داده شده است، با درنظر گرفتن حجم مشترک گازهای پیشرانه و آغازگر، هم‌پوشانی اولیه گلوله و محفظه احتراق و افزایش حجم در اثر عقب‌نشینی سلاح، اصلاح شده است. حجم در دسترس گازها با رابطه زیر تعیین می‌شود:

$$V_c = (v_0 - Ay) + A(x_B + x_{rec}) - \sum_{i=1}^n \frac{C_i}{\rho_{Solid_i}} (1 - Z_i) - \sum_{i=1}^n C_i Z_i \eta_i - C_I \eta_I \quad (22)$$

که با درون‌بایی از این داده‌ها، می‌توان مقادیر مربوطه را در انتگرال‌گیری فوق استفاده نمود. در کد حاضر از روش درون‌بایی قطعه‌ای درجه سوم چندجمله‌ای هرمیت استفاده شده است [۱۰]. اثرات عقب‌نشینی شامل افزایش حجم در دسترس گازهای پیشرانه و اتفاف انرژی می‌شود که در مدل بایر و فرانکل صرف‌نظر شده است. انرژی اتفالی در اثر عقب‌نشینی عبارت است از [۸]:

$$E_{rec} = \frac{1}{2} m_{rec} v_{rec}^2 \quad (12)$$

جرم مجموعه عقب نشینی‌کننده سلاح است.  $v_{rec}$  سرعت عقب نشینی است که با انتگرال‌گیری از شتاب عقب نشینی به دست می‌آید:

$$v_{rec} = \int_0^v a_{rec} dt = A \int_0^v \frac{P_{BR} - P_r}{m_{rec}} dt \quad (13)$$

در این رابطه،  $P_{BR}$  فشار محفظه احتراق است که بر اساس گرادیان فشار به دست می‌آید. انرژی اتفالی برای چرخش گلوله که در مدل بایر و فرانکل صرف‌نظر شده است، با فرض مناسب بودن سرعت زاویه‌ای با سرعت انتقالی از رابطه زیر به دست می‌آید:

$$E_{rotation} = \frac{1}{2} I_p (kv)^2 \quad (14)$$

که در آن،  $k$  ضریب تناسب سرعت زاویه‌ای و سرعت انتقالی است و با توجه به طول گام خان (طولی از لوله که یک دور کامل از شیار خان دارد) تعیین می‌شود.  $I_p$  ممان اینرسی گلوله حول محور دوران است، اگر با ساده انگاری گلوله به شکل استوانه‌ای با شعاعی برابر نصف قطر لوله درنظر گرفته شود، ممان اینرسی آن حول محور استوانه از رابطه زیر به دست می‌آید:

$$I_p = \frac{1}{2} W_p \left( \frac{D}{2} \right)^2 \quad (15)$$

برای محاسبه اتفاف حرارتی فرض می‌شود انتقال حرارت تنها در اثر جابه‌جاوی روی می‌دهد، در واقع از انتقال حرارت تابشی صرف‌نظر می‌شود. به علت اینکه فرآیند اساساً سریع اتفاق می‌افتد تنها لایه‌ای نازک از سمت داخلی مرزهای سیستم (لوله، محفظه احتراق و پشت گلوله) تحت تأثیر گرمای گازهای پیشرانه قرار می‌گیرد. انرژی از دست رفته به علت انتقال حرارت، دمای پوسته داخلی را افزایش می‌دهد. طبق رابطه سرمایش نیوتون:

$$E_h = \int_0^v A_w h [T - T_w] dt \quad (16)$$

$h$  ضریب انتقال حرارت جابه‌جاوی است که در مرجع [۸] توضیح داده شده است،  $A_w$  مساحت پوسته داخلی و  $T$  دمای گازهای پیشرانه

$$\frac{\partial v}{\partial x} = -\frac{1}{\rho} \frac{d\rho}{dt} \quad (27)$$

با اعمال شرایط مرزی  $v(0,t) = 0$  و  $v(x_B, t) = v_p$  در معادله بالا توزیع سرعت گازهای پشت گلوله به صورت خطی حاصل می‌شود:

$$v(x, t) = x \frac{v_p(t)}{x_B(t)} \quad (28)$$

با جایگزینی رابطه فوق در معادله اندازه حرکت و ساده‌سازی، نهایتاً تغییرات فشار بر حسب مکان و زمان به دست می‌آید:

$$P(x, t) = \varphi(t) - \frac{[P_B - P_r - P_g] \sum_{i=1}^n C_i}{2 w_p x_B^2} x^2 \quad (29)$$

با اعمال شرط مرزی  $P(0, t) = P_{BR}$  در معادله بالا حاصل می‌شود، لذا رابطه فشار پشت گلوله با فشار محفظه احتراق به صورت زیر به دست خواهد آمد:

$$P_{BR} = P_B + \frac{1}{2} \frac{\sum_{i=1}^n C_i}{w_p} [P_B - P_r - P_g] \quad (30)$$

با تعریف فشار میانگین به صورت زیر می‌توان ارتباط بین فشار میانگین با فشار محفظه احتراق را یافت:

$$\bar{P} = \frac{1}{x_B} \int_0^{x_p} P(x, t) dx \quad (31)$$

ارتباط فشار میانگین گازهای پیشرانه با فشار محفظه احتراق عبارت است از:

$$\bar{P} = P_{BR} + \frac{1}{6} \frac{\sum_{i=1}^n C_i}{w_p} [P_B - P_r - P_g] \quad (32)$$

مطالعات بیشتر در این زمینه توسط پیدوک، کنت و سایر محققین انجام شده است. طبق روش پیدوک-کنت فشار پشت گلوله عبارت است از:

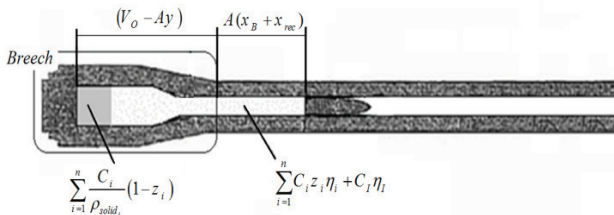
$$P_B = \frac{\bar{P}}{1 + \frac{C}{\delta w_p}} \quad (33)$$

رابطه فشار محفظه احتراق و فشار پشت گلوله عبارت است از:

$$P_{BR} = \frac{P_B}{(1 - a_0)^{-n'-1}} \quad (34)$$

روابط محاسبات مربوط به  $a_0$  و  $n'$  در مرجع [۶] آمده است.

در این رابطه،  $V$  حجم کل محفظه احتراق است، عبارت  $Ay$  حجمی از محفظه احتراق است که قسمت انتهایی گلوله آن را اشغال کرده است، عبارت  $A(x_B + x_{rec})$  فضایی از لوله است که پشت گلوله قرار می‌گیرد، عبارت سوم فضای اشغال شده توسط پیشرانه‌های نسخته است و دو عبارت بعدی مربوط به حجم مشترک گازهای پیشرانه و آغازگر می‌شود. در مدل بایر و فرانکل از حجم مشترک گازهای آغازگر، هم‌بouشانی اولیه گلوله با محفظه احتراق و افزایش حجم در اثر عقب‌نشینی صرف‌نظر شده است. دو حالت حدی در عقب‌نشینی سلاح متصور است؛ اول حالتی که لوله، گلوله را با خود به عقب بکشد و حالت دوم گلوله همراه لوله به سمت عقب حرکت نکند. حجم در دسترس گاز در حالت اول افزایش ندارد، درنتیجه با توجه به معادله حالت فشار میانگین بیشتری نسبت به حالت دوم به دست می‌آید، چرا که در حالت دوم حجم در دسترس گاز به مقدار عقب‌نشینی افزایش می‌یابد، لذا فشار میانگین کمتری حاصل خواهد شد.



شکل ۱- نمایش حجم در دسترس گازهای پیشرانه.

حجم مخصوص در معادله حالت عبارت است از:

$$v_i = \frac{V_C}{C_i z_i + C_I} \quad (23)$$

با جایگذاری این مقدار در معادله (۲۱) فشار میانگین به صورت زیر حاصل می‌شود:

$$\bar{P} = \frac{T}{V_C} \left[ \left( \sum_{i=1}^n \frac{F_i C_i z_i}{T_{o_i}} \right) + \frac{F_I C_I}{T_{o_I}} \right] \quad (24)$$

تعیین فشار پشت گلوله در محاسبات دینامیک حرکت گلوله حائز اهمیت است. اختلاف فشار از محفظه احتراق تا پشت گلوله توسط لاغرانژ بررسی شده است [۸]. طبق روش لاغرانژ معادله بقای جرم و بقای اندازه حرکت برای سیال غیرلزج در راستای طول لوله نوشته می‌شود:

$$\frac{D\rho}{Dt} + \rho (\nabla \cdot v) = 0 : \quad \frac{\partial \rho}{\partial t} + \frac{\partial}{\partial x} (\rho v) = 0 \quad (25)$$

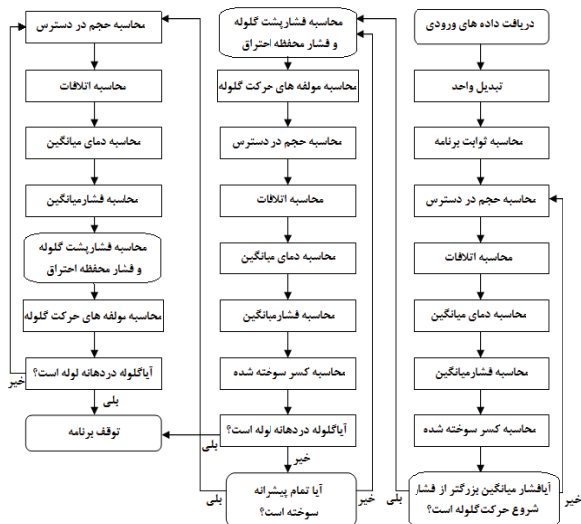
$$-\frac{1}{\rho} \nabla P = \frac{Dv}{Dt} : \quad -\frac{1}{\rho} \frac{\partial P}{\partial x} = \frac{\partial v}{\partial t} + v \frac{\partial v}{\partial x} \quad (26)$$

با فرض توزیع یکنواخت چگالی گازهای پشت گلوله در معادله بقای جرم داریم:

سوخت تا خروج گلوله از دهانه لوله می‌باشد. الگوریتم حل مسئله در شکل (۲) آمده است. این الگوریتم شامل سه ستون می‌شود که هر ستون متناظر با هر یک از این سه مرحله بیان شده است. در هر گام زمانی اتفاق‌ها و سپس دمای متوسط گازهای پیشرانه محاسبه شده و پس از آن با توجه به معادله حالت فشار میانگین تعیین می‌شود و درنهایت مؤلفه‌های حرکت گلوله (شتاب، سرعت و مکان) محاسبه می‌شوند. برنامه قابلیت تشخیص گیرکردن گلوله در لوله را طی مراحل دوم و سوم دارد. در صورتی که گلوله از پیشروی باز ایستد و فشار میانگین افزایش پیدا نکند، برنامه هشدار گیرکردن گلوله را اعلام می‌کند. نکته حائز اهمیت برای گام اول حل عددی فوق این است که فرض شده آغازگر در زمان صفر کامل سوخته شده است. درنتیجه فشار برابر خواهد شد با:

$$\bar{P} = \frac{F_I C_I}{V_C} \quad (39)$$

با همین فشار وارد معادلات نرخ سوزش شده و سیر حل دنبال می‌شود.



شکل ۲- الگوریتم حل روش ارائه شده.

### ۳- نتایج و بحث

#### ۳-۱- اعتبارسنجی

در اعتبارسنجی کد حاضر از نتایج تحلیل کدهای معتبر بالستیک داخلی برای تفنگ AGARD م.م. ۱۳۲، نتایج تجربی و نیز نتایج کدهای معتبر برای تفنگ M.م. ۱۲۰، با پیشرانه استوانه‌ای تک سوراخه شکافدار [۱۲] استفاده شده است. نتایج کد حاضر با نتایج کدهای معتبر و نتایج تجربی تطابق خوبی را نشان می‌دهد. در جدول (۱) خطای هر یک از کدها نسبت به Mobicid N.G. و در جدول (۲) خطای هر یک از کدها نسبت به نتیجه تجربی تعیین شده است.

**۴-۲- محاسبه کسر پیشرانه سوخته شده**  
نرخ کسر پیشرانه سوخته شده با فرض چگالی یکنواخت گرین پیشرانه جامد به صورت زیر نوشته می‌شود:

$$\frac{dz_i}{dt} = \frac{S_i(t)r_i(t)}{V_{g_i}} \quad (35)$$

که در آن،  $(t)$  سطح در معرض سوزش در هر لحظه است،  $V_{g_i}$  حجم اولیه گرین پیشرانه نسوخته است و  $(t)$  نرخ سوزش است که از رابطه زیر به دست می‌آید [۸]:

$$r_i(t) = \beta_i (\bar{P})^{\alpha_i} \quad (36)$$

ضرایب  $\alpha_i$ ،  $\beta_i$  از برازش داده‌های منحنی فشار- زمان حاصل از تست محظوظه بسته به دست می‌آیند [۱۱]. برای گرین‌های استوانه‌ای چند سوراخه با توجه به اینکه سوزش در لایه‌های موازی پیشروی می‌کند می‌توان درنظر گرفت در هر گام زمانی مقدار قطر سوراخ‌ها افزایش گرین استوانه‌ای کاسته می‌شود و بهمین مقدار قطر سوراخ‌ها افزایش پیدا می‌کند. برای یافتن عمق سوخته  $z_i$  در هر گام زمانی از حل عددی به روش نیوتون- رافسون استفاده می‌شود. با یافتن عمق سوخته سطح لحظه‌ای در معرض سوزش به دست می‌آید [۶]. درنهایت با انتگرال گیری از معادله (۳۵) کسر پیشرانه سوخته شده به دست خواهد آمد:

$$z_i = \int_0^t \frac{dz_i}{dt} dt \quad (37)$$

### ۴-۲- معادلات حرکت گلوله

شتاب انتقالی گلوله در طول لوله با توجه به نیروهای وارد شده بر آن قابل محاسبه است. نیروهایی که بر گلوله اعمال می‌شوند شامل نیروی محرك در اثر فشار گازهای پیشرانه پشت گلوله، نیروی خانکشی یا مقاومت لوله و نیروی مقاومت هوای فشرده در جلوی دماغه گلوله است. شتاب گلوله بنا بر قانون دوم نیوتون به صورت زیر به دست می‌آید:

$$a = \frac{A(P_B - P_g - P_r)}{w_p} \quad (38)$$

سرعت گلوله با انتگرال گیری از شتاب و مکان گلوله با انتگرال گیری از سرعت به دست خواهد آمد.

### ۵- خلاصه الگوریتم حل

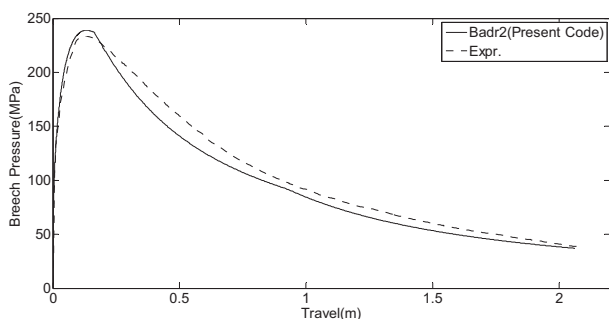
تحلیل حاضر در سه مرحله همانند روش بایر- فرانکل انجام می‌شود. مرحله اول از سوختن کامل آغازگر در زمان صفر تا رسیدن فشار به فشار شروع حرکت گلوله است. مرحله دوم از زمان حرکت اولیه گلوله تا سوختن کامل پیشرانه است و مرحله سوم از رسیدن به نقطه اتمام

جدول ۱- مقایسه نتایج کد حاضر با نتایج تحلیل کدهای معتبر بالستیک داخلی برای تفنج ۱۳۲۲ م.م. AGARD

مرجع نتایج	فشار بیشینه محفظه احتراق (Mpa)	فشار بیشینه پشت گلوله (Mpa)	سرعت دهانه (m/sec)	زمان خروج گلوله (msec)	درصد خطای فشار بیشینه محفظه احتراق	درصد خطای سرعت دهانه
Badr2 (Present Code)	۳۷۴	۳۳۹	۶۶۴	۱۲/۸۴	۳/۸	۳/۳
Mobidic N.G. 2D[3]	۳۶۰	۲۲۸	۶۸۷	۱۵/۳۴	-	-
IBHVG2[8]	۳۹۵	۳۵۸	۶۸۹	۱۴/۶۶	۹/۷	۰/۲
SIBIL[14]	۳۷۷	۳۴۱	۷۰۳	۱۴/۳۶	۴/۷	۲/۳
CTA1 [15]	۳۶۸	۳۵۰	۶۷۸	۱۴/۹۴	۲/۲	۱/۳
XKTC[16]	۳۵۰	۳۲۴	۶۸۳	۱۶/۵۸	۲/۷	۰/۶

جدول ۲- مقایسه نتایج کد حاضر با نتایج تحریبی و نتایج تحلیل کدهای معتبر بالستیک داخلی برای تفنج ۱۳۰۴ م.م.

مرجع نتایج	فشار بیشینه محفظه احتراق (Mpa)	فشار بیشینه پشت گلوله (Mpa)	سرعت دهانه (m/sec)	زمان خروج گلوله (msec)	درصد خطای فشار بیشینه محفظه احتراق	درصد خطای سرعت دهانه
Badr2 (Present Code)	۴۰۳	۳۱۸	۱۲۴۲	۵/۷۰	۶/۲	۰/۶
Expr. [13]	۴۲۸	-	۱۲۳۴	-	-	-
Mobidic N.G. [3]	۴۳۰	۳۸۲	۱۲۹۵	۶/۶۶	۰/۵	۴/۹
SIBIL[14]	۵۶۱	۴۳۹	۱۳۴۰	۴/۳۹	۳/۱	۸/۶
FHIBS[17]	۴۴۳	۳۲۸	۱۲۴۶	۸/۱۳	۹/۵	۱/۰
CTA1[15]	۴۶۳	۳۵۷	۱۲۴۴	۶/۳۰	۸/۱	۰/۸

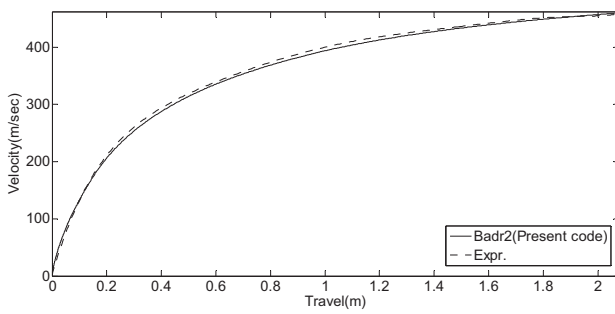


شکل ۳- تغییرات فشار محفظه احتراق بر حسب مکان گلوله در تفنج ۱۳۰۵ م.م.

با توجه به درصد خطاهای پراکندگی نتایج تحلیل کدهای تحلیل بالستیک داخلی در جداول (۱) و (۲) به روابط مورد استفاده برای محاسبه گردایان فشار، اتفاف حرارتی، نرخ سوزش و معادله حالت به کار رفته مربوط می‌شود. در شکل‌های (۳) و (۴) تغییرات فشار محفظه احتراق و سرعت گلوله بر حسب مکان گلوله برای تفنج ۱۳۰۵ م.م. با استفاده از کد حاضر با نتایج تحریبی از مرجع [۶] مقایسه شده است. خروج به کار رفته در تفنج ۱۳۰۵ م.م. به صورت ترکیبی است که شامل گیرین‌های استوانه‌ای هفت سوراخه و استوانه‌ای تک سوراخه با مشخصات ترموموژیمیایی یکسان می‌شود.

### ۳-۲-۳- اثر حجم مشترک گازهای پیشرانه

شکل‌های (۵) و (۶) براساس روش حاضر با درنظر گرفتن فشار شروع حرکت گلوله و نیروی مقاومت خانکشی، تأثیر درنظر گرفتن حجم مشترک گازهای پیشرانه را در مقایسه با حالتی که این پارامتر لحاظ نمی‌شود، برای تفنج ۱۳۰۵ م.م. نشان می‌دهد. اضافه نمودن اثر پارامتر حجم مشترک با هدف درنظر گرفتن خواص واقعی گازهای گازی احتراق انجام شده است. این پارامتر به اثر متقابل مولکول‌های گازی محصولات احتراق در دما و فشار بالای داخل لوله مربوط می‌شود. با توجه به اینکه حجم مشترک سبب کاهش حجم آزاد گازهای حاصل از احتراق می‌شود، درنظر گرفتن آن باعث افزایش فشار و در نتیجه افزایش سرعت دهانه شده است. این موضوع دقیق محاسبات را در شبیه‌سازی‌ها بهبود می‌دهد.



شکل ۴- تغییرات سرعت گلوله بر حسب مکان گلوله در تفنج ۱۳۰۵ م.م.

### ۳-۳- اثر نیروی مقاومت خانکشی

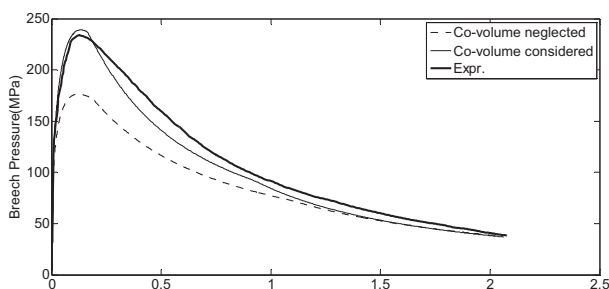
شکل های (۷) و (۸) تأثیر نیروی مقاومت خانکشی را بر فشار محفظه احتراق و سرعت گلوله برای تفنج  $10.5\text{m}\cdot\text{m}$ . نشان می دهد. همان طور که ملاحظه می شود با در نظر گرفتن این پارامتر فشار گازهای احتراق به طور محسوس افزایش پیدا می کند. اگرچه انتظار می رود اصطکاک در لوله در اثر فرآیند خانکشی منجر به کاهش سرعت دهانه شود اما از آنجا که فشار گازهای احتراق در پشت گلوله افزایش یافته است، نهایتاً سرعت دهانه افزایش خواهد داشت. سرعت دهانه با در نظر گرفتن نیروی مقاومت خانکشی  $460\text{ m/s}$  بر ثانیه است و با صرف نظر از این گازها و فشار شروع حرکت گلوله منظور شده است.

### ۳-۴- اثر فشار شروع حرکت گلوله

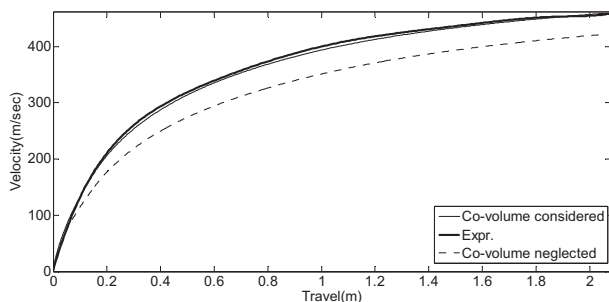
برای رها شدن گلوله از سجاف محفظه احتراق و غلبه بر نیروی خانکشی نیاز به فشار اولیه کافی می باشد. شکل (۹) اثر فشار شروع حرکت گلوله را بر تغییرات فشار محفوظه احتراق نشان می دهد. مشاهده می شود با افزایش این پارامتر، بیشینه فشار افزایش پیدا می کند. در شکل (۱۰) تغییرات بیشینه فشار بر حسب فشار شروع حرکت گلوله آمده است که نشان می دهد تغییرات به صورت سهمی است. محاسبه فشار حداقل صحیح و با دقت بالا از دیدگاه اینمی تفنج و طول عمر آن از اهمیت بالایی برخوردار است. در روش های حل تحلیلی برای تطابق نتایج تحلیل با نتایج تجربی، اثر فشار شروع حرکت گلوله را با افزایش نرخ سوزش اعمال می کردند [۱۸]. در روش حاضر به طور مستقیم تأثیر این پارامتر قابل بررسی است. در بررسی اثر فشار شروع حرکت گلوله در شکل های (۹) و (۱۰) حجم مشترک گازها و نیروی خانکشی لحاظ شده است.

### ۳-۵- اثر خصوصیات آغازگر

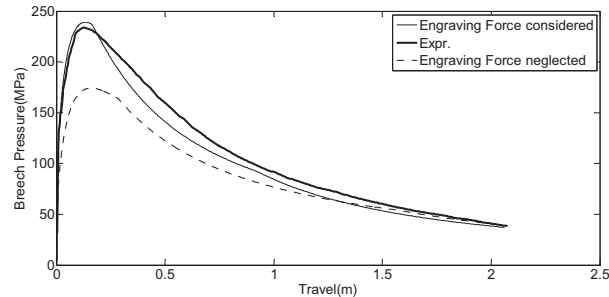
برای بررسی اثر خصوصیات آغازگر از دو نوع آغازگر مطابق جدول (۳) با جرم برابر در تحلیل بالستیک داخلی تفنج  $10.5\text{m}\cdot\text{m}$ . استفاده شده است. تأثیر آغازگر بر دمای میانگین گازهای احتراق در شکل (۱۱) آمده است. علی رغم ایمپتوس کمتر آغازگر شماره دو از آغازگر شماره یک، در تمام باره زمانی شلیک، دمای محصولات احتراق بالاتر است. لذا دمای شعله آدیباتیک آغازگر در تعیین تغییرات دمای میانگین گازهای احتراق اثر قابل توجهی دارد. تعیین صحیح تغییرات دما از نظر مسایل ایمنی سلاح و همچنین سایش و فرسودگی لوله سلاح حائز اهمیت است [۱۹]. به طور کلی دمای شعله آدیباتیک کمتر پیشانه از نقطه نظر سایش مطلوب تر است. ممکن است پس از آتش های متوالی پدیده خود اشتعالی در پیشانه ها روی دهد و منجر به شلیک ناخواسته شود [۲۰].



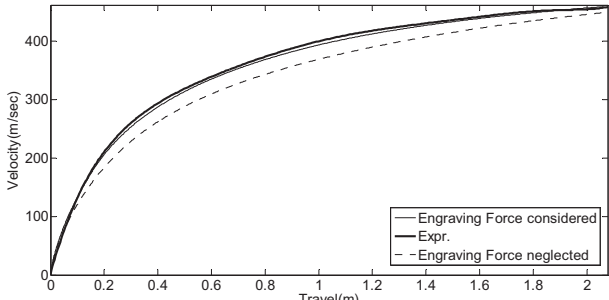
شکل ۵- بررسی تأثیر حجم مشترک بر تغییرات فشار محفوظه احتراق  
بر حسب زمان در تفنج  $10.5\text{m}\cdot\text{m}$ .



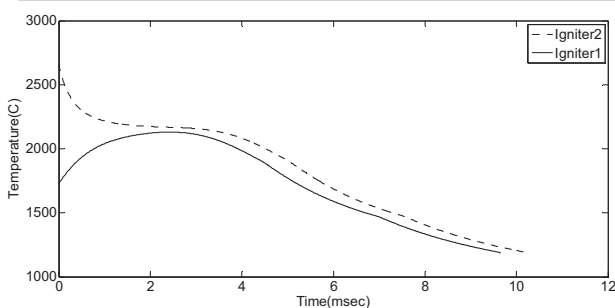
شکل ۶- بررسی تأثیر حجم مشترک بر تغییرات سرعت بر حسب زمان در  
تفنج  $10.5\text{m}\cdot\text{m}$ .



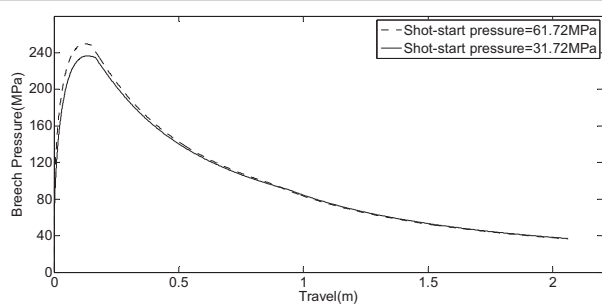
شکل ۷- تأثیر نیروی مقاومت خانکشی بر تغییرات فشار محفوظه احتراق  
بر حسب زمان در تفنج  $10.5\text{m}\cdot\text{m}$ .



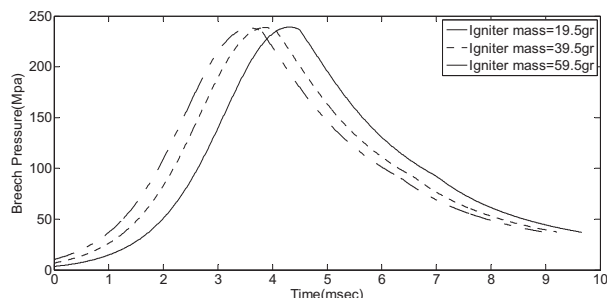
شکل ۸- تأثیر نیروی مقاومت خانکشی بر تغییرات سرعت بر حسب زمان در  
تفنج  $10.5\text{m}\cdot\text{m}$ .



شکل ۱۱- تأثیر خصوصیات آغازگر بر دمای میانگین گازهای پیشرانه بر حسب زمان در تفنگ ۱۰۵ م.م.

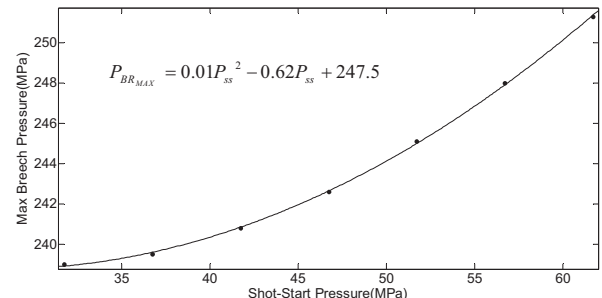


شکل ۹- تأثیر فشار شروع حرکت گلوله بر تغییرات فشار محفظه احتراق بر حسب زمان برای تفنگ ۱۰۵ م.م.



شکل ۱۲- تأثیر افزایش جرم آغازگر بر منحنی فشار- زمان در تفنگ ۱۰۵ م.م.

ورودی نرم افزار شامل جرم گلوله، مشخصات لوله سلاح، ابعاد هندسی گرین پیشرانه و مشخصات ترمومیکانیکی پیشرانه و آغازگر می باشد. خروجی نرم افزار شامل فشار و دمای گازهای احتراق بر حسب زمان و مکان گلوله، سرعت انتقالی و چرخشی گلوله بر حسب زمان و مکان و مکان گلوله می شود. نتایج کد حاضر با نتایج آزمایشگاهی و نتایج دیگر کدهای معتبر تحلیل بالستیک داخلی تطابق خوبی نشان می دهد. محاسبه فشار حداکثر صحیح و با دقت بالا از دیدگاه اینمنی تفنگ و طول عمر آن از اهمیت بالایی برخوردار است، چرا که در حالت ایدهآل در محاسبات بالستیک، هدف دست یابی به فشار حداکثر بالاتر در طول لوله می باشد تنها محدودیت واقعی این هدف، عدم تحمل سازه لوله به لحاظ مکانیکی است. خطای محاسبه بیشینه فشار در تفنگ ۱۰۵ م.م بدون درنظر گرفتن حجم مشترک گازهای پیشرانه و نیروی مقاومت خان کشی به ترتیب ۴/۵۵ و ۲۵/۴۴ درصد است. با درنظر گرفتن این دو پارامتر در تحلیل بالستیک داخلی تفنگ ۱۰۵ م.م. خطای محاسبه بیشینه فشار محفظه احتراق به ۲/۲۵ درصد (مقدار ثوری ۲۳۹ MPa در مقابل مقدار تجربی ۲۳۳/۷ MPa) کاهش می یابد. تحقیق حاضر نشان داد بیشینه فشار با فشار شروع حرکت گلوله در تفنگ ۱۰۵ م.م. رابطه سه‌می دارد. همچنین مشخص شد دمای شعله آدیباتیک آغازگر در تعیین تغییرات دمای گازهای احتراق اثر قابل توجهی دارد. افزایش جرم آغازگر سبب کوتاه شدن بازه شلیک و جابه‌جا شدن مکان نقطه بیشینه فشار به سمت محفظه احتراق می شود.



شکل ۱۰- تغییرات بیشینه فشار محفظه احتراق با فشار شروع حرکت گلوله در تفنگ ۱۰۵ م.م.

جدول ۳- مشخصات آغازگرهای استفاده شده برای بررسی اثر خصوصیات ترمودینامیکی آغازگر [۲۶ و ۲۱].

نوع آغازگر	جرم (gr)	نسبت گرم‌های ویژه (-)	ایمپتوس (MJ / kg)	دمای شعله آدیباتیک (C)
آغازگر (۱)	۱۹/۵	۱/۲۵	۰/۲۸۷	۱۷۲۶/۸۵
آغازگر (۲)	۱۹/۵	۱/۴۰	۰/۱۰۶	۲۶۶۶/۸۵

لازم به توضیح است در بخش‌های قبل از مشخصات آغازگر (۱) در مطالعه پارامتریک تفنگ ۱۰۵ م.م. استفاده شده است. مطابق شکل (۱۲) افزایش جرم آغازگر سبب انتقال زمانی منحنی فشار- زمان می شود به طوری که بازه زمانی شلیک کاهش می یابد. درنتیجه با افزایش جرم آغازگر مکان نقطه بیشینه فشار به سمت محفظه احتراق جا به جا می شود. مقدار جرم آغازگر بر بیشینه فشار و سرعت دهانه تأثیر بسیار ناچیزی دارد. در شکل (۱۲) از مشخصات آغازگر شماره یک استفاده شده است.

#### ۴- نتیجه‌گیری

در این تحقیق با درنظر گرفتن نرخ سوزش غیرخطی، تحلیل بالستیک داخلی برای تفنگ انجام شده است. روش حاضر با توجه به حل عددی انجام شده، محدودیتهای ریاضی ناشی از حل تحلیلی معادلات به روش مرجع [۱۸] را ندارد. با استفاده از روش توسعه داده شده حاضر نرم افزار تحلیل بالستیک داخلی با نام Badr2 تهیه شده است.

## اندیس‌ها

## علایم

خرج پیشran	<i>Prop</i>	مساحت مقطع لوله	<i>A</i>
مقاومت لوله	<i>r</i>	شتاب گلوله	<i>a</i>
عقب نشینی	<i>rec</i>	جرم اولیه پیشرانه	<i>C</i>
چرخش	<i>rotation</i>	گرمای ویژه در حجم ثابت	<i>c<sub>v</sub></i>
پوسته یا دیواره احاطه کننده سیستم	<i>w</i>	گرمای ویژه در فشار ثابت	<i>c<sub>p</sub></i>
گلوله	<i>p</i>	قطر لوله	<i>D</i>
محفظه احتراق	<i>BR</i>	انرژی اتلافی	<i>E</i>
پشت گلوله	<i>B</i>	ایمپتوس	<i>F</i>
اتلاف حرارتی	<i>h</i>	سطح در معرض سوزش	<i>S</i>
هوای فشرده	<i>g</i>	دما	<i>T</i>
آغازگر	<i>I</i>	دمای شعله آدیاپاتیک	<i>T<sub>o</sub></i>
<i>i</i> - این خرج پیشran	<i>i</i>	زمان	<i>t</i>
		عمق سوخته	<i>u</i>
		انرژی داخلی گازهای پیشرانه	<i>U</i>
		حجم کل محفظه احتراق	<i>V<sub>O</sub></i>
		حجم اولیه محفظه احتراق	<i>V<sub>g</sub></i>
		حجم در دسترس گازهای پیشرانه	<i>V<sub>C</sub></i>
		سرعت گلوله	<i>v</i>
		کار انجام شده روی گلوله	<i>W</i>
		جرم گلوله	<i>w<sub>p</sub></i>
		جرم عقب نشینی کننده	<i>m<sub>rec</sub></i>
		ضریب انتقال حرارت جا به جایی	<i>h</i>
		ممان اینرسی گلوله	<i>I</i>
		ضریب تصحیح نرخ سوزش	<i>k<sub>v</sub></i>
		فشار شروع حرکت گلوله	<i>P<sub>ss</sub></i>
		فشار پشت گلوله	<i>P<sub>p</sub></i>
		فشار محفظه احتراق	<i>P<sub>BR</sub></i>
		انرژی شیمیایی آزاد شده پیشرانه	<i>Q</i>
		ثابت گاز	<i>R</i>
		نرخ سوزش	<i>r</i>
		موقعیت گلوله	<i>x</i>
		طول همپوشانی اولیه گلوله و محفظه احتراق	<i>y</i>
		کسر سوخته شده پیشرانه	<i>z</i>
		توان نرخ سوزش	<i>α</i>
		ضریب نرخ سوزش	<i>β</i>
		نسبت گرمایی ویژه	<i>γ</i>
		حجم مخصوص	<i>ν</i>
		حجم مشترک	<i>η</i>
		ثابت پیدوک-کنت	<i>δ</i>
		ضخامت پوسته احاطه کننده سیستم	<i>ε</i>
		چگالی گازهای پیشرانه	<i>ρ</i>
		چگالی خرج جامد	<i>ρ<sub>solid</sub></i>

## مراجع

- [1] Carlucci, D.; Jacobson S. "Ballistics, Theory and Design of Guns and Ammunition"; CRC Press, Boca Raton, 2008.
- [2] Longuet, B. "MOBIDIC N.G.: a 1D/2D Code Suitable for Interior Ballistics and Vulnerability Modeling"; 22<sup>nd</sup> International Symposium on Ballistics, November 2005.
- [3] Jaramaz, S.; Mickovic, D.; Elek, P. "Two-Phase Flows in Gun Barrel: Theoretical and Experimental Studies"; Int. J. Multiphase Flow 2011, 37, 475-487.
- [4] Talei, M., Rahimian, M. H. "Experimental and Numerical Study of Combusting Solid Propellant and Axisymmetric Flow Field with Moving Boundary"; In: 11th Annual Conference of the CFD Society of Canada, Vancouver, 28-30 May 2003.
- [5] معینی، سجاد، مدل‌سازی یک بعدی جریان دوفازی محترق در سیستم‌های توپ، پایان نامه کارشناسی ارشد، گروه مهندسی هوافضا، دانشکده مهندسی مکانیک دانشگاه صنعتی خواجه نصیرالدین طوسی، ۱۳۸۳.
- [6] Baer, P. G.; Frankle, J. M. "The Simulation of Interior Ballistic Performance of Guns by Digital Computer Program"; BRL-TR-1183, US Army Ballistic Research Laboratory, December 1962.
- [7] Pocock, M.; Einstein, S.; Guyott, C.; Karen, N.; Carlucci, D.; Klingaman, K.; Moran, K. B. "Challenges of Internal Ballistics Modeling of Novel Propellants and Propellant Geometry"; 23<sup>rd</sup> International Symposium on Ballistics, April 2007.
- [8] Anderson, R. A.; Fickie, K. D. "IBHVG2 - A User's Guide"; Technical Report BRL-TR-2829, US Army Ballistic Research Laboratory, July 1987.
- [9] Carlucci1, D.; Vega, J.; Pocock, M.; Einstein, S.; Guyott, C.; Chaplin, R. "Novel Examination of Gun Bore Resistance Analysis and Experimental Validation"; 23<sup>rd</sup> International Symposium On Ballistics, April 2007.
- [10] Birkhoff, G.; Schultz, M. H.; Varga, R. S. "Piecewise Hermite Interpolation in One and Two Variables with Application to Partial Differential Equations"; Numeric Mathematic 1968, 11, 232-256.
- [11] Rodrigues, R. "Closed Vessel Experiment Modeling and Ballistic Parameter"; 2<sup>nd</sup> Mercosure Congress On Chemical Engineering, 2006.
- [12] Woodley C. R. "Comparisons of Internal Ballistics Simulations of the AGARD Gun"; 22<sup>nd</sup> International Symposium on Ballistics, November 2005.

- 
- [18] Corner, J. "Theory of the Interior Ballistics of Gun"; John Wiley, New York, 1950.
  - [19] Franco, P.; Peter, H. "Gun Barrel Erosion: Study of Thermally Insulating Layers"; 19<sup>th</sup> International Symposium on Ballistics, May 2001.
  - [20] Wu, B.; Chen, G.; Xia, W. "Heat Transfer in a 155 mm Compound Gun Barrel With Full Length Integral Midwall Cooling Channels"; Applied Thermal Engineering 2008, 28, 881–888.
  - [21] Robbins, F. W.; Anderson, R. D.; Gough, P. S. "New Pressure Gradient Equations for Lumped-Parameter Interior Ballistic Codes"; Technical Report BRL-TR-3097, US Army Ballistic Research Laboratory, May 1990.
  - [13] Woodley, C. R. "Comparisons of Internal Ballistics Simulations of 40mm Gun Firing"; 23<sup>rd</sup> International Symposium on Ballistics, April 2007.
  - [14] Schoeffert, I. C. "Simulation de la Ballistique Interieure des Canons, SIBIL"; NTETBS/CE/DMS/MMB/TDP N06/86, 1986.
  - [15] Woodley C. R. "Modeling the Internal Ballistics of Mortars using the One-Dimensional Code Cta"; 20<sup>th</sup> International Symposium on Ballistics, September 2002.
  - [16] Gough, P. S. "The XNOVAKTC Code"; Technical Report BRL-CR-627, US Army Ballistic Research Laboratory, February 1990.
  - [17] Woodley, C. R.; Billett, S.; Lowe, C. "The FHIBS Internal Ballistics Code"; 22<sup>nd</sup> International Symposium on Ballistics, November 2005.

